

# (11) EP 3 159 701 A1

(12)

### **DEMANDE DE BREVET EUROPEEN**

(43) Date de publication:

26.04.2017 Bulletin 2017/17

(21) Numéro de dépôt: 16194734.6

(22) Date de dépôt: 20.10.2016

(51) Int Cl.:

G01P 7/00 (2006.01) G01C 21/16 (2006.01)

B61L 25/02 (2006.01) G01P 15/00 (2006.01)

(84) Etats contractants désignés:

AL AT BE BG CH CY CZ DE DK EE ES FI FR GB GR HR HU IE IS IT LI LT LU LV MC MK MT NL NO PL PT RO RS SE SI SK SM TR

Etats d'extension désignés:

**BA ME** 

Etats de validation désignés:

MA MD

(30) Priorité: 23.10.2015 FR 1560159

(71) Demandeur: Meggitt (Sensorex) 74166 Archamps (FR)

(72) Inventeur: VEILLARD, Damien 74166 (FR)

(74) Mandataire: Lavoix 2, place d'Estienne d'Orves 75441 Paris Cedex 09 (FR)

# (54) PROCÉDÉ DE CALCUL DE L'ACCÉLÉRATION PROPRE D'UN VÉHICULE FERROVIAIRE, PRODUIT PROGRAMME D'ORDINATEUR ET SYSTÈME ASSOCIÉS

(57) Ce procédé de calcul de l'accélération propre d'un véhicule ferroviaire lors du déplacement de celui-ci le long d'une voie ferrée comporte les étapes consistant à : estimer la vitesse de déplacement du véhicule en utilisant une analyse spectrale des premières mesures, estimer les attitudes de roulis et de tangage du véhicule à partir des premières mesures, définir un vecteur de me-

sures composé des premières mesures, des deuxièmes mesures, de la vitesse de déplacement estimée et des attitudes de roulis et de tangage estimées, définir un vecteur d'état comportant au moins une composante correspondant à l'accélération propre du véhicule, appliquer un estimateur d'état pour estimer le vecteur d'état, et extraire l'accélération propre du véhicule de ce vecteur d'état.

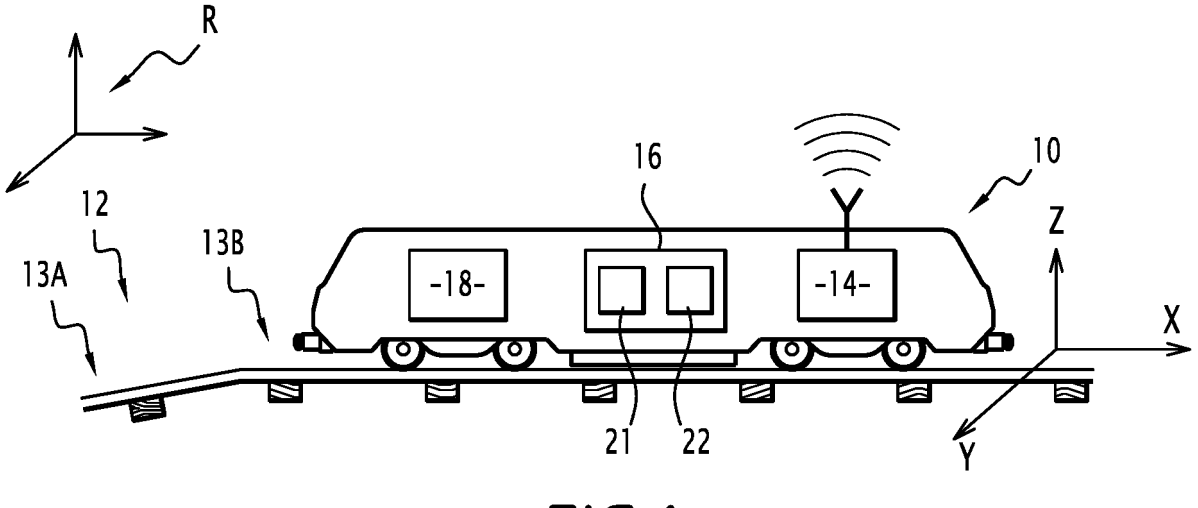


FIG.1

EP 3 159 701 A1

[0001] La présente invention concerne un procédé de calcul de l'accélération propre d'un véhicule ferroviaire lors du déplacement de celui-ci le long d'une voie ferrée. [0002] Par définition l'accélération propre est l'accélération due au mouvement du véhicule et est donc indépendant de la gravité. L'accélération propre se décompose (dans un repère de Frenet) en une accélération tangentielle, donc colinéaire au sens du mouvement du véhicule ferroviaire, et en une accélération normale ou centripète, donc perpendiculaire au sens du mouvement du véhicule ferroviaire.

1

**[0003]** L'accélération propre permet notamment de déterminer la vitesse instantanée et la position exacte du véhicule ferroviaire sur la voie ferrée par la composante tangentielle, indépendamment de la pente.

**[0004]** Différentes méthodes de détermination de la position d'un véhicule ferroviaire sur une voie ferrée existent dans l'état de la technique.

**[0005]** Certaines de ces méthodes permettent de déterminer la position du véhicule ferroviaire à partir d'informations acquises par des balises réparties le long de la voie ferrée.

[0006] Ceci est particulièrement le cas d'un système de signalisation, de contrôle et de protection des trains du type ETCS (de l'anglais « European Train Control System »).

**[0007]** Ce système a pour but de normaliser les systèmes de signalisation présents actuellement dans différents pays européens.

**[0008]** Un système du type ETCS comprend notamment des balises permettant de collecter en temps réel et de transmettre vers un centre de traitement, l'ensemble des informations relatives à la position précise du train, à sa vitesse, etc.

**[0009]** Sur la base de ces informations, le centre de traitement donne des commandes appropriées à la signalisation correspondante.

**[0010]** Toutefois, il existe des risques d'une défaillance technique d'un tel système de signalisation.

**[0011]** Ceci conduit alors à la nécessité d'avoir des systèmes de localisation embarqués au bord du véhicule ferroviaire permettant notamment d'avoir une information redondante en ce qui concerne la vitesse instantanée et la position exacte du véhicule.

**[0012]** Plusieurs systèmes de localisation embarqués sont connus dans l'état de la technique.

[0013] Parmi eux, on peut notamment citer des récepteurs de signal GPS, des tachymètres ou encore différents types de radars.

[0014] Cependant, le fonctionnement de tels systèmes de localisation peut être perturbé par des évènements extérieurs, tels que par exemple certains évènements météorologiques (brouillard, neige, pluie) ou encore la présence d'obstacles environnants comme par exemple les tunnels

[0015] En outre, il est connu que les systèmes de lo-

calisation basés sur les mesures d'un tachymètre ne fournissent pas de localisation exacte lorsque les conditions d'adhérence entre les roues et les rails sont dégradées. Ceci est particulièrement dû au glissement des roues lors des phases de freinage du véhicule ferroviaire. [0016] En effet, lors de ces phases, les roues peuvent glisser sur la voie ferrée.

**[0017]** Un autre type de systèmes de localisation embarqués permet de déterminer la position du véhicule ferroviaire correspondant à partir notamment de mesures inertielles issues d'une centrale inertielle d'acquisition de données embarquée.

**[0018]** Une telle centrale inertielle comporte généralement au moins un accéléromètre et un gyromètre.

**[0019]** En particulier, l'accéléromètre permet de mesurer les accélérations réelles du véhicule ferroviaire selon l'axe de son déplacement pour en déduire ensuite la position de ce véhicule.

**[0020]** Ces mesures peuvent être complétées par des mesures de la vitesse angulaire du véhicule ferroviaire fournies par le gyromètre apte à mesurer des accélérations angulaires autour au moins d'un axe.

**[0021]** Toutefois, la position exacte du véhicule ferroviaire ne peut pas être obtenue directement à partir des mesures de son accélération réelle.

[0022] En effet, la position exacte doit être déterminée à partir de l'accélération propre de ce véhicule, c'est-à-dire de l'accélération due au déplacement de ce véhicule le long de la voie ferrée sans prise en compte de l'accélération due par exemple à la topologie de la voie.

**[0023]** Autrement dit, il est nécessaire de soustraire, des mesures prises par l'accéléromètre, l'accélération due à la topologie de la voie.

**[0024]** Ainsi, pour obtenir l'accélération propre, les systèmes de localisation existants utilisent généralement des données supplémentaires.

[0025] Ces données sont par exemple relatives à la topologie de la voie ou comprennent des mesures autres que les mesures inertielles telles que par exemple la vitesse issue d'un tachymètre ou la position issue d'un récepteur GPS.

**[0026]** On conçoit alors que ces données supplémentaires ne sont pas toujours disponibles et peuvent être considérablement erronées.

[0027] En outre, la nécessité de la prise en compte de telles données conduit à des systèmes de localisation à structure complexe.

[0028] La présente invention a pour but de proposer un procédé de calcul de l'accélération propre d'un véhicule ferroviaire permettant de déterminer l'accélération propre et notamment l'accélération tangentielle de ce véhicule de manière particulièrement précise et ceci uniquement à partir des mesures inertielles, c'est-à-dire, à partir des mesures fournies par un accéléromètre et un gyromètre.

**[0029]** À cet effet, l'invention a pour objet un procédé de calcul de l'accélération propre d'un véhicule ferroviaire lors du déplacement de celui-ci le long d'une voie fer-

10

15

rée, le véhicule ferroviaire comportant une centrale inertielle d'acquisition de données comprenant un accéléromètre permettant de fournir des premières mesures correspondant aux accélérations réelles du véhicule ferroviaire selon trois axes orthogonaux, et un gyromètre permettant de fournir des deuxièmes mesures correspondant aux vitesses angulaires du véhicule ferroviaire selon trois axes orthogonaux.

[0030] Le procédé comporte les étapes suivantes :

- estimer la vitesse de déplacement du véhicule ferroviaire en utilisant une analyse spectrale des premières mesures;
- estimer les attitudes de roulis et de tangage du véhicule ferroviaire à partir des premières mesures;
- définir un vecteur de mesures composé des premières mesures, des deuxièmes mesures, de la vitesse de déplacement du véhicule ferroviaire estimée et des attitudes de roulis et de tangage du véhicule ferroviaire estimées;
- définir un vecteur d'état comportant au moins une composante correspondant à l'accélération propre du véhicule ferroviaire selon au moins un axe;
- appliquer un estimateur d'état pour estimer le vecteur d'état en utilisant le vecteur de mesures ;
- extraire l'accélération propre du véhicule ferroviaire de ce vecteur d'état.

**[0031]** Suivant d'autres aspects avantageux de l'invention, le procédé comprend une ou plusieurs des caractéristiques suivantes, prise(s) isolément ou suivant toutes les combinaisons techniquement possibles :

- l'estimation de la vitesse de déplacement du véhicule ferroviaire est effectuée en utilisant une analyse spectrale des premières mesures correspondant aux accélérations réelles du véhicule ferroviaire selon un axe vertical:
- l'estimation de la vitesse de déplacement du véhicule ferroviaire comprend le calcul d'une transformation de Fourier rapide desdites premières mesures;
- lors de chaque itération suivante du procédé, l'estimation des attitudes de roulis et de tangage du véhicule ferroviaire comprend le calcul d'une correction d'angle d'estimation dépendant de la différence entre la vitesse estimée de déplacement du véhicule ferroviaire et l'intégration de l'estimation de l'accélération propre du véhicule ferroviaire calculée lors d'une précédente itération du procédé;
- le vecteur d'état comporte les composantes correspondant à trois accélérations propres du véhicule ferroviaire selon trois axes orthogonaux dans un repère fixe; les angles d'Euler représentant l'attitude et l'orientation du train; les vitesses angulaires étant les dérivées des angles d'Euler; des biais du gyromètre selon au moins deux axes; et une vitesse curviligne du véhicule ferroviaire;

- lors de chaque itération suivante du procédé, l'application de l'estimateur d'état comprend le calcul d'une estimation suivante d'un vecteur d'état suivant à partir d'un vecteur de mesures suivant et d'une estimation précédente d'un vecteur d'état précédent déterminée lors d'une précédente itération du procédé; l
- il comprend en outre une étape d'auto-calibration effectuée lorsque le véhicule ferroviaire est à l'arrêt;
- l'étape d'auto-calibration comprend la correction des estimations sur des biais du gyromètre et la correction sur les estimations des attitudes de roulis et tangage;
- l'estimateur d'état est un filtre de Kalman ;
- des instructions logicielles qui, lorsque mises en oeuvre par un équipement informatique, mettent en oeuvre un procédé tel que décrit précédemment.

[0032] L'invention a également pour objet un produit programme d'ordinateur comportant des instructions logicielles qui, lorsque mises en oeuvre par un équipement informatique, mettent en oeuvre un procédé tel que défini ci-dessus.

[0033] L'invention a également pour objet un système calcul de l'accélération propre d'un véhicule ferroviaire lors du déplacement de celui-ci le long d'une voie ferrée, le véhicule ferroviaire comportant une centrale inertielle d'acquisition de données comprenant un accéléromètre permettant de fournir des premières mesures correspondant aux accélérations réelles du véhicule ferroviaire selon trois axes orthogonaux, et un gyromètre permettant de fournir des deuxièmes mesures correspondant aux vitesses angulaires du véhicule ferroviaire selon trois axes orthogonaux.

[0034] Le système est apte à : estimer la vitesse de déplacement du véhicule ferroviaire en utilisant une analyse spectrale des premières mesures ; estimer les attitudes de roulis et de tangage du véhicule ferroviaire à partir des premières mesures ; définir un vecteur de mesures composé des premières mesures, des deuxièmes mesures, de la vitesse de déplacement du véhicule ferroviaire estimée et des attitudes de roulis et de tangage du véhicule ferroviaire estimées ; définir un vecteur d'état comportant au moins une composante correspondant à l'accélération propre du véhicule ferroviaire selon au moins un axe ; appliquer un estimateur d'état pour estimer le vecteur d'état en utilisant le vecteur de mesures ; extraire l'accélération propre du véhicule ferroviaire de ce vecteur d'état.

50 [0035] Ces caractéristiques et avantages de l'invention apparaitront à la lecture de la description qui va suivre, donnée uniquement à titre d'exemple non limitatif, et faite en référence aux dessins annexés, sur lesquels :

 la figure 1 est une vue schématique d'un véhicule ferroviaire se déplaçant le long d'une voie ferrée et comportant un système de calcul de l'accélération propre selon l'invention;

55

20

- la figure 2 est une vue schématique détaillée du système de calcul de la figure 1 ; et
- la figure 3 est un organigramme d'un procédé de calcul selon l'invention.

[0036] On a en effet illustré sur la figure 1, un véhicule ferroviaire 10 se déplaçant le long d'une voie ferrée 12 et comportant des moyens de communication 14 connus en soi, une centrale inertielle d'acquisition de données 16 et un système de calcul 18 selon l'invention.

**[0037]** Le véhicule ferroviaire 10 est par exemple un train comportant notamment une locomotive pilotée par un conducteur.

**[0038]** Dans l'exemple illustré sur la figure 1, un repère mobile XYZ est associé au véhicule ferroviaire 10.

[0039] Le repère mobile XYZ est formé d'un axe de déplacement X suivant la voie ferrée 12, d'un axe transversal Y perpendiculaire à cette voie dans un plan horizontal, et d'un axe vertical Z perpendiculaire à l'axe transversal Y et à l'axe de déplacement X.

[0040] Le repère mobile XYZ est mobile par rapport à un repère fixe R.

**[0041]** Le repère fixe R est par exemple un repère du type NED (de l'anglais « North East Down ») présentant trois axes orthogonaux dont un axe coïncide avec la direction nord, un axe coïncide avec la direction Est et un axe coïncide avec la direction verticale.

[0042] La voie ferrée 12 est composée d'une pluralité de portions 13A, 13B comprenant chacune par exemple deux rails parallèles et un système de signalisation du type ETCS (de l'anglais « European Train Control System »).

**[0043]** Le système de signalisation est notamment apte à communiquer avec les moyens de communication 14 du véhicule ferroviaire 10, pour, par exemple, déterminer sa position exacte, sa vitesse ou bien d'autres paramètres relatifs au véhicule 10.

**[0044]** Les portions 13A, 13B de la voie ferrée 12 présentent par exemple des topologies différentes.

**[0045]** Ainsi, selon l'exemple de réalisation de la figure 1, les rails de la portion 13B sont disposés dans un plan horizontal du repère fixe R et les rails de la portion 13A sont légèrement inclinés par rapport à ce plan.

[0046] Ainsi, lors du déplacement le long de la voie ferrée 12, le véhicule ferroviaire 10 subit des accélérations réelles composées des accélérations dues à la topologie de la voie (pentes, dévers etc.) avec notamment la force gravitationnelle et des accélérations propres liées au déplacement du véhicule ferroviaire 10 le long de la voie 12.

[0047] En particulier, les accélérations propres du véhicule ferroviaire 10 ne dépendent pas de la topologie de la voie 12, et notamment de la force gravitationnelle. [0048] La centrale inertielle 16 comprend un accéléromètre 21 permettant de fournir des premières mesures relatives à l'accélération réelle du véhicule ferroviaire 10 et un gyromètre 22 permettant de fournir des deuxièmes mesures relatives à la vitesse angulaire du véhicule fer-

roviaire 10.

**[0049]** En particulier, les premières mesures comprennent des mesures *ax*, *ay* et *az* correspondant aux accélérations réelles du véhicule ferroviaire 10 respectivement selon les axes X, Y et Z.

**[0050]** Ainsi, les accélérations réelles présentent la somme des forces accélérométriques projetées sur les axes sensibles X, Y et Z de l'accéléromètre.

**[0051]** Les deuxièmes mesures comprennent des mesures gx,gy et gz correspondant aux vitesses angulaires du véhicule ferroviaire 10 respectivement selon les axes X, Y et Z.

[0052] Le système de calcul 18 permet d'estimer notamment les accélérations propres du véhicule ferroviaire 10 à chaque instant selon un procédé de calcul de l'accélération propre décrit plus en détail par la suite.

**[0053]** Le système de calcul 18 permet ainsi de déterminer la position exacte du véhicule ferroviaire 10 indépendamment du système de signalisation.

[0054] Le système de calcul 18 est illustré plus en détail sur la figure 2.

**[0055]** Ainsi, en référence à cette figure 2, le système de calcul 18 comporte un module d'entrée 24, un module de traitement 26 et un module de sortie 28.

5 [0056] Le module d'entrée 24 est raccordé à l'accéléromètre 21 et au gyromètre 22, et est apte à recevoir à chaque instant des mesures issues de ces dispositifs.

**[0057]** Le module de traitement 26 est apte à traiter les mesures reçues pour estimer notamment l'accélération propre du véhicule ferroviaire 10.

**[0058]** Le module de traitement 26 est par exemple réalisé sous la forme d'un logiciel qui est mis en oeuvre par un calculateur embarqué.

**[0059]** Le module de sortie 28 est apte à transmettre les estimations produites par le module de traitement 26 par exemple au conducteur et/ou à un système de contrôle embarqué ou distant du véhicule ferroviaire 10.

**[0060]** Le procédé de calcul de l'accélération propre selon l'invention va désormais être expliqué en référence à la figure 3 illustrant un ordinogramme de ses étapes.

**[0061]** Initialement, le véhicule ferroviaire 10 circule le long de la voie ferrée 12.

[0062] À chaque instant t, l'accéléromètre 21 et le gyromètre 22 prennent des mesures correspondantes.

[0063] Le procédé de calcul est itéré par le système de calcul 20 pour chaque instant t.

[0064] Lors d'une étape initiale 110, le module d'entrée 24 acquiert des mesures prises par l'accéléromètre 21 et le gyromètre 22 à l'instant t.

50 [0065] En particulier, ces mesures comprennent des mesures ax, ay et az des accélérations du véhicule ferroviaire 10 selon respectivement les axes X, Y et Z, et des mesures gx,gy et gz des vitesses angulaires du véhicule ferroviaire 10 selon respectivement les axes X, Y
55 et 7.

**[0066]** Par ailleurs, les mesures de l'accélération az du véhicule ferroviaire 10 selon l'axe verticale Z sont acquises sous la forme de N échantillons  $az_0,...,az_{N-1}$  dans

une fenêtre temporelle prédéterminée, le paramètre *N* étant un nombre pair naturel.

[0067] Puis, le module d'entrée 24 transmet ces mesures au module de traitement 26.

**[0068]** Lors d'une étape suivante 120, le module de traitement 26 estime la vitesse de déplacement du véhicule ferroviaire 10 en utilisant une analyse spectrale des échantillons de l'accélération *az* du véhicule ferroviaire 10 selon l'axe verticale Z.

[0069] En variante, le module de traitement 26 estime la vitesse de déplacement du véhicule ferroviaire 10 en utilisant une analyse spectrale des échantillons de l'accélération du véhicule ferroviaire 10 selon l'axe X ou l'axe Y.

**[0070]** Pour ce faire, le module de traitement 26 calcule d'abord une transformation de Fourier rapide des échantillons  $az_0$ , ...,  $az_{N-1}$  pour obtenir une densité spectrale de puissance  $FFT_k(t)$  qui est déterminée par l'expression suivante :

$$FFT_k(t) = \sum_{n=0}^{N-1} a z_n e^{\frac{i2\pi kn}{N}}$$

**[0071]** Puis, le module de traitement 26 calcule la puissance du spectre  $P_{FFT}(t)$  en utilisant l'expression suivante :

$$P_{FFT}(t) = \sum_{k=2}^{N/2} |FFT_k(t)|.$$

**[0072]** Finalement, la vitesse estimée  $v_{FFT}(t)$  du véhicule 10 est déterminée en normalisant la puissance du spectre  $P_{FFT}(t)$  selon l'expression suivante :

$$v_{FFT}(t) = \rho \sqrt{P_{FFT}(t)} + \beta,$$
 40

où p est un facteur d'échelle et  $\beta$  est un biais. La valeur p est connue a priori et est déterminée par exemple par le constructeur du gyromètre 21. La valeur  $\beta$  s'équilibre par exemple à chaque démarrage du système de calcul 18.

**[0073]** Lors d'une étape 130 suivante, le module de traitement 26 estime les attitudes de roulis  $\phi_{acc}$  et de tangage  $\theta_{acc}$  du véhicule ferroviaire 10 à partir des premières mesures.

**[0074]** En particulier, le module de traitement utilise les formules suivantes pour déterminer ces valeurs :

$$\phi_{acc} = \operatorname{atan}\left(\frac{ay}{\sqrt{ax^2 + az^2}}\right),\,$$

$$\theta_{acc} = \operatorname{atan}\left(\frac{ax}{\sqrt{ay^2 + az^2}}\right) + \xi_{\Delta v},$$

où  $\xi_{\Delta v}$  est une correction d'angle qui dépend de la différence entre l'estimation de la vitesse  $\nu_{FFT}(t)$  déterminée lors de l'étape 120 et l'intégration de l'accélération tangentielle autrement dit de l'accélération propre selon l'axe X du véhicule ferroviaire 10 lors de la précédente itération du procédé.

**[0075]** Lors d'une étape 140, le module de traitement 28 définit un vecteur de mesures  $y_t$  et un vecteur d'état  $x_t$  à l'instant t selon les expressions suivantes :

$$y_{t} = \begin{vmatrix} ax \\ ay \\ ay \\ az \\ gx \\ gy \\ gz \\ \phi_{acc} \\ \theta_{acc} \\ v_{FFT} \end{vmatrix}, \qquad x_{t} = \begin{vmatrix} \varphi \\ \dot{\theta} \\ \dot{\psi} \\ \phi \\ \theta \\ \theta \\ \psi \\ p \\ q \\ r \\ v \\ \beta_{gx} \\ \beta_{ay} \end{vmatrix}$$

où :

30

20

 $\phi, \theta$  et  $\psi$  sont les angles d'Euler définissant l'attitude et l'orientation du véhicule ferroviaire. Les angles d'Euler permettent également le passage entre le repère mobile XYZ et le repère fixe R ;

 $\dot{\phi}$ ,  $\dot{\theta}$  et  $\dot{\psi}$  sont les dérivées des angles d'Euler ;

p, q et r sont les accélérations propres du véhicule ferroviaire 10 projetées sur les trois axes du repère fixe R:

 $\nu\, \text{est}$  la vitesse curviligne du véhicule ferroviaire 10 ; et

 $\beta_{gx}$  et  $\beta_{gy}$  sont les biais du gyromètre 22 selon respectivement les axes X et Y.

**[0076]** Ainsi, le vecteur de mesures  $y_t$  est composé des premières mesures, des deuxièmes mesures, de la vitesse estimée  $v_{FFT}(t)$  de déplacement du véhicule ferroviaire 10 et des attitudes de roulis  $\phi_{acc}$  et de tangage  $\theta_{acc}$  du véhicule ferroviaire 10 estimées.

**[0077]** Le vecteur d'état  $x_t$  est composé notamment des accélérations propres p, q et r du véhicule ferroviaire 10 projetées sur les trois axes du repère fixe R. Par ailleurs, dans le repère mobile, l'accélération propre selon l'axe X est l'accélération tangentielle du véhicule ferroviaire 10, et l'accélération propre selon l'axe Y est l'accélération centripète du véhicule ferroviaire 10.

[0078] Lors d'une étape 150 suivante, le module de

traitement 26 applique un estimateur d'état tel que par exemple un filtre de Kalman, pour estimer le vecteur d'état  $x_t$  en utilisant le vecteur de mesures  $y_t$ .

[0079] Bien entendu d'autres estimateurs peuvent être envisagés.

**[0080]** En particulier, lors de cette étape 150, une estimation  $\hat{\mathbf{x}}_{t|t}$  du vecteur d'état  $x_t$  est obtenue à partir du vecteur de mesures  $y_t$  et d'une estimation  $\hat{\mathbf{x}}_{t-1}|_{t-1}$  d'un vecteur d'état  $x_{t-1}$  déterminée lors de la précédente itération du procédé.

**[0081]** Pour ce faire, l'étape 150 comporte une phase de prédiction consistant à obtenir un vecteur d'état prédit  $\hat{\mathbf{x}}_{t|t-1}$  à partir notamment de l'estimation  $\hat{\mathbf{x}}_{t-1|t-1}$ , et une phase d'observation consistant à obtenir l'estimation  $\hat{\mathbf{x}}_{t|t}$  à partir du vecteur d'état prédit  $\hat{\mathbf{x}}_{t|t-1}$  et le vecteur de mesures  $\mathbf{y}_{t}$ .

[0082] Lors de la phase de prédiction, le vecteur d'état prédit  $\mathbf{x}_{t|t-1}$  est obtenu comme suit :

$$\hat{x}_{t|t-1} = F_{t-1}\hat{x}_{t-1|t-1},$$

$$P_{t|t-1} = F_{t-1}P_{t-1|t-1}F_t^T + Q_{t-1},$$

οù

 $F_{t-1}$  est une matrice de transition entre les instants t - 1 et t:

 $P_{t|t-1}$  est une matrice *a priori* de la covariance de l'erreur déterminée notamment à partir d'une matrice précédente  $P_{t-1|t-1}$  déterminée lors de la phase d'observation de la précédente itération du procédé selon la formule explicitée ci-après ; et

 $\mathbf{Q}_{t\text{-}1}$  est une matrice de covariance du bruit de processus.

**[0083]** Lors de la phase d'observation, l'estimation  $\hat{x}_{t|t}$  du vecteur d'état  $x_t$  est obtenue comme suit :

$$K_t = P_{t|t-1}H_t^T (H_t P_{t|t-1}H_t^T + R_t)^{-1},$$

$$\hat{x}_{t|t} = \hat{x}_{t|t-1} + K_t (y_t - H_t \hat{x}_{t|t-1}),$$

$$P_{t|t} = P_{t|t-1} - K_t H_t P_{t|t-1},$$

οù

 $K_t$  est le gain de Kalman;

 $R_t$  est une matrice de covariance du bruit de mesure ;  $H_t$  est une matrice reliant le vecteur de mesures  $y_t$  et le vecteur d'état  $x_t$ ; et

 $P_{t|t}$  est une matrice *a posteriori* de la covariance de l'erreur calculée pour la prochaine itération du procédé

- **[0084]** Lors d'une étape 160 suivante, le vecteur d'estimation  $\hat{x}_{t|t}$  du vecteur d'état  $x_t$  est transmis au module de sortie 28 qui en extrait notamment les estimations des accélérations propres p, q et r projetés sur les axes du repère fixe R.
- 10 [0085] Ces accélérations sont ensuite utilisées pour déterminer par exemple la position exacte du véhicule ferroviaire 10. En particulier, ces accélérations sont ensuite projetées dans le repère mobile XYZ afin d'extraire l'accélération tangentielle (suivant l'axe X) qui servira au 15 calcul de la position.

[0086] Puis, les étapes 110 à 160 décrites sont répétées de manière itérative.

[0087] Lorsque le véhicule ferroviaire 10 est à l'arrêt, le module de traitement 26 met en oeuvre une étape 170 d'auto-calibration.

[0088] En particulier, lors de cette étape 170, le module de traitement 26 corrige les éventuelles erreurs cumulées dans le temps tel qu'un mauvais suivi des biais du gyromètre 22.

**[0089]** Le module de traitement 26 corrige donc les estimations sur les biais  $\beta_{qx}$  et  $\beta_{qy}$  du gyromètre 22.

**[0090]** Lors de la même étape 170, le module de traitement 26 corrige en outre les estimations des attitudes de roulis  $\phi_{acc}$  et de tangage  $\theta_{acc}$ .

**[0091]** Il est à noter que l'étape 170 d'auto-calibration est possible grâce au réglage en temps réel de la matrice  $Q_t$  de covariance du bruit de processus et de la matrice  $R_t$  de covariance du bruit de mesure.

**[0092]** On conçoit alors que la présente invention présente un certain nombre d'avantages.

[0093] En particulier, l'invention permet d'obtenir des estimations de l'accélération propre d'un véhicule ferroviaire et notamment l'accélération tangentielle uniquement à partir des mesures de l'accéléromètre et du gyromètre.

**[0094]** Ces estimations sont particulièrement précises grâce notamment à l'étape 120 d'estimation de la vitesse de déplacement du véhicule ferroviaire.

[0095] Ceci permet alors d'éviter l'utilisation des dispositifs de mesures supplémentaires tels qu'un tachymètre ou un récepteur du signal GPS.

**[0096]** Finalement, les estimations d'attitude de roulis  $\phi_{acc}$  et de tangage  $\theta_{acc}$  extraites du vecteur d'état estimé  $x_{t|t}$  permettent un suivi en temps réel de l'attitude du véhicule ferroviaire et permettent d'éviter l'utilisation des données relatives à la topologie de la voie et de récupérer ainsi de l'espace de stockage dans les calculateurs embarqués.

**[0097]** Bien entendu, d'autres modes de réalisation de l'invention sont également possibles.

5

10

15

20

25

35

40

45

50

55

#### Revendications

Procédé de calcul de l'accélération propre d'un véhicule ferroviaire (10) lors du déplacement de celuici le long d'une voie ferrée (12), le véhicule ferroviaire (10) comportant une centrale inertielle d'acquisition de données (16) comprenant un accéléromètre (21) permettant de fournir des premières mesures correspondant aux accélérations réelles du véhicule ferroviaire (10) selon trois axes orthogonaux (X, Y, Z), et un gyromètre (22) permettant de fournir des deuxièmes mesures correspondant aux vitesses angulaires du véhicule ferroviaire (10) selon trois axes orthogonaux (X, Y, Z);

le procédé étant **caractérisé en ce qu'**il comporte les étapes suivantes :

- estimer (120) la vitesse de déplacement du véhicule ferroviaire (10) en utilisant une analyse spectrale des premières mesures ;
- estimer (130) les attitudes de roulis ( $\phi_{acc}$ ) et de tangage ( $\theta_{acc}$ ) du véhicule ferroviaire (10) à partir des premières mesures ;
- définir (140) un vecteur de mesures ( $y_t$ ) composé des premières mesures, des deuxièmes mesures, de la vitesse de déplacement du véhicule ferroviaire estimée et des attitudes de roulis ( $\phi_{acc}$ ) et de tangage ( $\theta_{acc}$ ) du véhicule ferroviaire (10) estimées ;
- définir (140) un vecteur d'état  $(x_t)$  comportant au moins une composante (p, q, r) correspondant à l'accélération propre du véhicule ferroviaire selon au moins un axe (X, Y, Z);
- appliquer (150) un estimateur d'état pour estimer le vecteur d'état  $(x_t)$  en utilisant le vecteur de mesures  $(y_t)$ ;
- extraire (160) l'accélération propre du véhicule ferroviaire (10) de ce vecteur d'état.
- 2. Procédé selon la revendication 1, caractérisé en ce que l'estimation de la vitesse de déplacement du véhicule ferroviaire (10) est effectuée en utilisant une analyse spectrale des premières mesures correspondant aux accélérations réelles du véhicule ferroviaire (10) selon un axe vertical (Z).
- Procédé selon la revendication 2, caractérisé en ce que l'estimation de la vitesse de déplacement du véhicule ferroviaire (10) comprend le calcul d'une transformation de Fourier rapide desdites premières mesures.
- 4. Procédé selon l'une quelconque des revendications précédentes, **caractérisé en ce que** lors de chaque itération suivante du procédé, l'estimation des attitudes de roulis ( $\phi_{acc}$ ) et de tangage ( $\theta_{acc}$ ) du véhicule ferroviaire (10) comprend le calcul d'une correction d'angle ( $\xi_{\Delta V}$ ) d'estimation dépendant de la différence

- entre la vitesse estimée de déplacement du véhicule ferroviaire (10) et l'intégration de l'estimation de l'accélération propre du véhicule ferroviaire (10) calculée lors d'une précédente itération du procédé.
- 5. Procédé selon l'une quelconque des revendications précédentes, caractérisé en ce que le vecteur d'état (x<sub>i</sub>) comporte les composantes correspondant à :
  - trois accélérations propres (p, q, r) du véhicule ferroviaire (10) selon trois axes orthogonaux dans un repère fixe (R);
  - les angles d'Euler ( $\phi$ ,  $\theta$ ,  $\psi$ ) représentant l'attitude et l'orientation du train ;
  - les vitesses angulaires  $(\dot{\phi}, \dot{\theta}, \dot{\psi})$  étant les dérivées des angles d'Euler ;
  - des biais  $(\beta_{gx},\beta_{gy})$  du gyromètre (22) selon au moins deux axes ; et
  - une vitesse curviligne (v) du véhicule ferroviaire (10).
- 6. Procédé selon l'une quelconque des revendications précédentes, caractérisé en ce que lors de chaque itération suivante du procédé, l'application de l'estimateur d'état comprend le calcul d'une estimation suivante (x̂<sub>t|t</sub>) d'un vecteur d'état suivant (x<sub>t</sub>) à partir d'un vecteur de mesures suivant (y<sub>t</sub>) et d'une estimation précédente (x̂<sub>t-1|t-1</sub>) d'un vecteur d'état précédent (x<sub>t-1</sub>) déterminée lors d'une précédente itération du procédé.
- 7. Procédé selon l'une quelconque des revendications précédentes, caractérisé en ce qu'il comprend en outre une étape (170) d'auto-calibration effectuée lorsque le véhicule ferroviaire (10) est à l'arrêt.
- 8. Procédé selon la revendication 7, caractérisé en ce que l'étape d'auto-calibration (170) comprend la correction des estimations sur des biais  $(\beta_{gx}, \beta_{gy})$  du gyromètre (22) et la correction sur les estimations des attitudes de roulis  $(\phi_{\rm acc})$  et tangage  $(\theta_{\rm acc})$ .
- Procédé selon l'une quelconque des revendications précédentes, caractérisé en ce l'estimateur d'état est un filtre de Kalman.
- 10. Produit programme d'ordinateur comportant des instructions logicielles qui, lorsque mises en oeuvre par un équipement informatique, mettent en oeuvre un procédé selon l'une quelconque des revendications précédentes.
- 11. Système (20) de calcul de l'accélération propre d'un véhicule ferroviaire (10) lors du déplacement de celui-ci le long d'une voie ferrée (12), le véhicule ferroviaire (10) comportant une centrale inertielle d'acquisition de données (16) comprenant un accéléro-

mètre (21) permettant de fournir des premières mesures correspondant aux accélérations réelles du véhicule ferroviaire (10) selon trois axes orthogonaux (X, Y, Z), et un gyromètre (22) permettant de fournir des deuxièmes mesures correspondant aux vitesses angulaires du véhicule ferroviaire (10) selon trois axes orthogonaux (X, Y, Z);

le système étant caractérisé en ce qu'il est apte à :

- estimer (120) la vitesse de déplacement du véhicule ferroviaire (10) en utilisant une analyse spectrale des premières mesures ;
- estimer (130) les attitudes de roulis ( $\phi_{acc}$ ) et de tangage ( $\theta_{acc}$ ) du véhicule ferroviaire (10) à partir des premières mesures ;
- définir (140) un vecteur de mesures  $(y_t)$  composé des premières mesures, des deuxièmes mesures, de la vitesse de déplacement du véhicule ferroviaire estimée et des attitudes de roulis  $(\phi_{acc})$  et de tangage  $(\theta_{acc})$  du véhicule ferroviaire (10) estimées ;
- définir (140) un vecteur d'état  $(x_t)$  comportant au moins une composante (p, q, r) correspondant à l'accélération propre du véhicule ferroviaire selon au moins un axe (X, Y, Z);
- appliquer (150) un estimateur d'état pour estimer le vecteur d'état  $(x_t)$  en utilisant le vecteur de mesures  $(y_t)$ ;
- extraire (160) l'accélération propre du véhicule ferroviaire (10) de ce vecteur d'état.

10

15

20

25

30

35

40

45

50

55

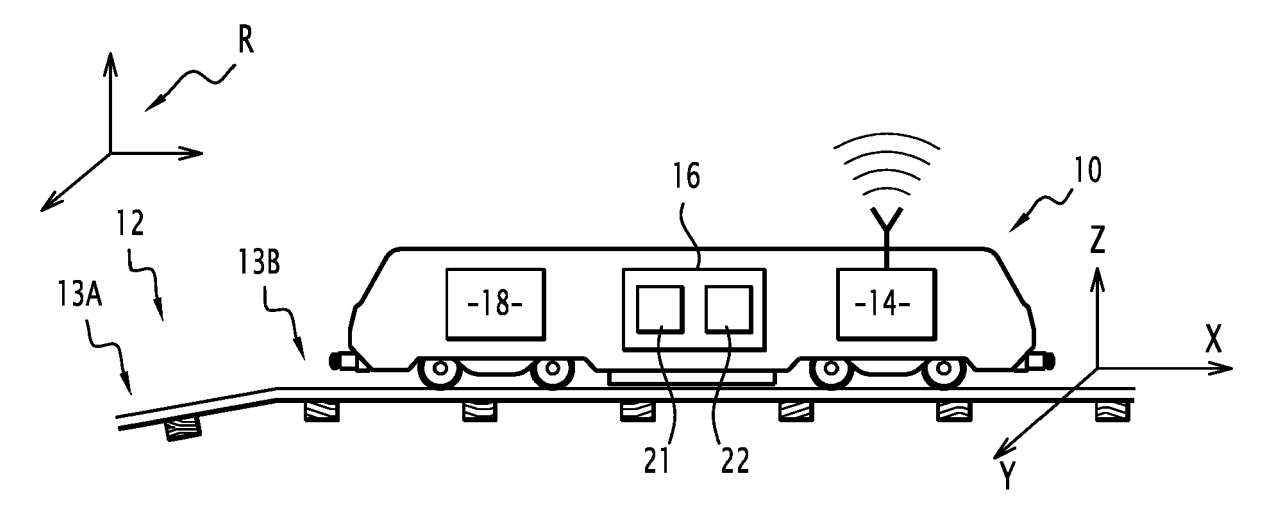


FIG.1

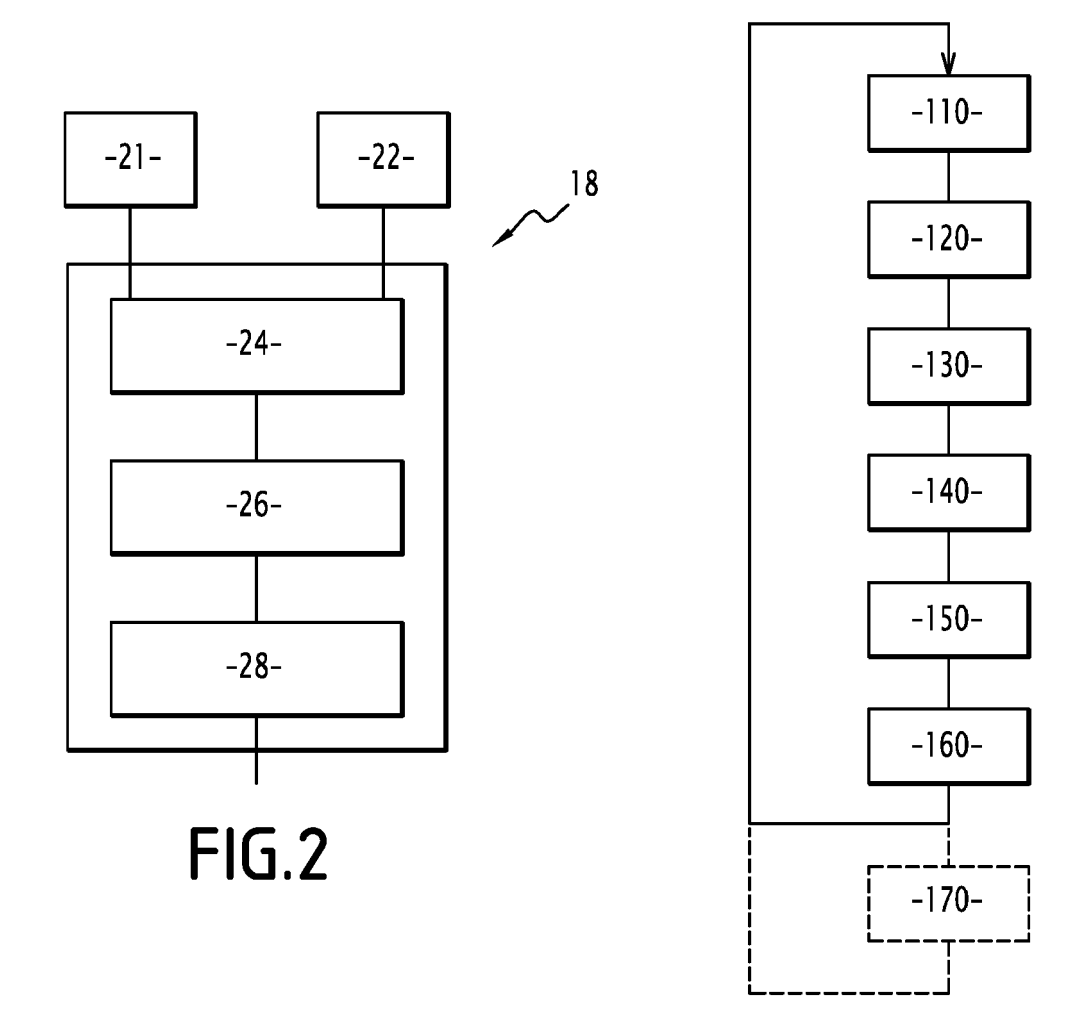


FIG.3

**DOCUMENTS CONSIDERES COMME PERTINENTS** 



# RAPPORT DE RECHERCHE EUROPEENNE

Numéro de la demande

EP 16 19 4734

10
----

	Citation du document avec			Revendication	CLASSEMENT DE LA	
Catégorie	des parties pertir			concernée	DEMANDE (IPC)	
Y	US 2009/326851 A1 ([US]) 31 décembre 2 * alinéa [0003] - a * alinéa [0105] * * alinéa [0117] - a * alinéa [0136] - a * figures 3, 19 *	009 (2009-12 Jinéa [0004] Jinéa [0120]	-31) *	1-11	INV. G01P7/00 B61L25/02 G01C21/16 G01P15/00	
Y	DE 10 2012 219109 A FÜR LUFT UND RAUMFA 24 avril 2014 (2014 * alinéa [0002] * * alinéa [0006] - a	HRT E V [DE] 04-24)	)	1-11		
Υ	US 6 459 990 B1 (MC 1 octobre 2002 (200 * colonne 2, ligne * colonne 16, ligne * colonne 20, ligne 21 * * figures 1, 13, 14	22-10-01) 60 - ligne 6 21 - ligne 60 - colonn	5 * 67 *	1-11	DOMAINES TECHNIQUES	
А	US 2005/065726 A1 (AL) 24 mars 2005 (2 * alinéa [0005] * * alinéa [0112] *	MEYER THOMAS 005-03-24)		1-11	G01P B61L G01C	
•	ésent rapport a été établi pour tou Lieu de la recherche	utes les revendication Date d'achèvemer			Examinateur	
			achévement de la recherche 9 janvier 2017		Rabenstein, Winfried	
	Munich					
CATEGORIE DES DOCUMENTS CITES  X : particulièrement pertinent à lui seul Y : particulièrement pertinent en combinaison avec un autre document de la même catégorie A : arrière-plan technologique O : divulgation non-écrite			T : théorie ou principe à la base de l'invention E : document de brevet antérieur, mais publié à la date de dépôt ou après cette date D : cité dans la demande L : cité pour d'autres raisons  & : membre de la même famille, document correspondant			
	ligation non-ecrite ument intercalaire		α. membre de la mel	me ramile, docul	ment correspondant	

# EP 3 159 701 A1

# ANNEXE AU RAPPORT DE RECHERCHE EUROPEENNE RELATIF A LA DEMANDE DE BREVET EUROPEEN NO.

5

EP 16 19 4734

La présente annexe indique les membres de la famille de brevets relatifs aux documents brevets cités dans le rapport de

recherche européenne visé ci-dessus. Lesdits members sont contenus au fichier informatique de l'Office européen des brevets à la date du Les renseignements fournis sont donnés à titre indicatif et n'engagent pas la responsabilité de l'Office européen des brevets.

09-01-2017

10	Document brevet cité au rapport de recherche	Date de publication	Membre(s) de la famille de brevet(s)	Date de publication
	US 2009326851 A1	31-12-2009	US 2009326851 A1 US 2013173207 A1	31-12-2009 04-07-2013
15	DE 102012219109 A1	24-04-2014	AUCUN	
	US 6459990 B1	01-10-2002	AUCUN	
	US 2005065726 A1	24-03-2005	AUCUN	
20				
25				
20				
30				
35				
40				
40				
45				
50	3			
2000				
	i i			
55				

Pour tout renseignement concernant cette annexe : voir Journal Officiel de l'Office européen des brevets, No.12/82